

Ускоренные спуски по случайному направлению и безградиентные методы с неевклидовой прокс-структурой*

Е.А. ВОРОНЦОВА, к-т физ.-мат. наук (vorontsovaea@gmail.com),
 (Дальневосточный федеральный университет, Владивосток),
 А.В. ГАСНИКОВ, д-р физ.-мат. наук (gasnikov@yandex.ru) ,
 (Московский физико-технический институт, Москва),
 Э.А. ГОРБУНОВ, студент (ed-gorbunov@yandex.ru),
 (Московский физико-технический институт, Москва)

В 2011 г. Ю.Е. Нестеровым были предложены ускоренные безградиентные методы решения задач гладкой выпуклой оптимизации. То есть были предложены ускоренные методы с оракулом, выдающим только значение функции в запрошенной точке. Поскольку рассматривались только задачи безусловной оптимизации, то использовалась евклидова прокс-структура. Однако, если заранее знать, например, что решение задачи разреженно, а точнее, что расстояние от точки старта до решения в 1-норме и в 2-норме близки, то более выгодно выбирать не евклидову прокс-структуру, связанную с 2-нормой, а прокс-структуру, связанную с 1-нормой. Таких безградиентных методов, насколько нам известно, до сих пор не было. В данной работе предлагается, по-видимому, первый такой метод. Получены оценки скорости сходимости метода в условиях малого шума, возникающего при вычислении значения функции.

1 Введение

В работе [1] были предложены ускоренные методы нулевого порядка (безградиентные методы) решения задач гладкой выпуклой безусловной оптимизации. В рассуждениях [1] существенным образом использовалось то, что была выбрана евклидова прокс-структура. Такой выбор прокс-структуры для задач безусловной оптимизации является вполне естественным (см., например, [2]). Однако в ряде задач имеется дополнительная информация, которая, например, позволяет рассчитывать на разреженность решения (в решении большая часть компонент нулевые). В таких случаях использование других прокс-структур бывает более выгодным. Для негладких задач стохастической условной оптимизации с оракулом нулевого порядка недавно было показано [3], [4], что в определенных ситуациях ускорение метода за счёт перехода от евклидовой прокс-структуры, связанной с 2-нормой, к прокс-структурой,

*Авторы выражают благодарность Павлу Двуреченскому и Александру Тюрину за помощь в работе. Работа А. В. Гасникова по пп. 3, 4 была поддержанна грантом РНФ 17-11-01027. Работа Э. А. Горбунова была поддержана программой 5 топ 100 МФТИ по приглашению визит-профессоров.

связанным с 1-нормой, может давать ускорение методу, по порядку равное размерности пространства, в котором происходит оптимизация. К сожалению, техника, использованная в работах [3], [4] существенным образом использовала неускоренную природу оптимальных методов для неглдаких задач. Другими словами, из этих работ не понятно, как получать аналогичные оценки для гладких задач. В настоящей работе на базе специального варианта быстрого (ускоренного) градиентного метода [5] строится сначала ускоренный метод спуска по случайному направлению, а затем и ускоренный безградиентный метод. Особенностью метода работы [5] является представление быстрого градиентного метода как специальной выпуклой комбинации градиентного спуска и зеркального спуска. В исходной работе, как и во всех известных нам вариантах быстрого градиентного метода с двумя и более «проекциями», обе проекции осуществлялись в одной норме/прокс-структуре. Повидимому, главной идеей данной работы является использование разных норм/прокс-структур в этих проекциях. А именно, в градиентном шаге всегда используется обычная евклидова проекция, а вот в зеркальном шаге выбор прокс-структуры обусловлен априорной информацией о свойствах решения.

В данной работе на базе описанной выше конструкции для задач безусловной гладкой выпуклой оптимизации строятся: ускоренный метод спуска по случайному направлению (п. 4) и ускоренный безградиентный метод (п. 5). Показывается, какие возникают сложности при попытке перенесения описанного подхода на задачи оптимизации на множествах простой структуры (п. 4). Безградиентный метод рассматривается в условиях наличия малого шума неслучайной природы, возникающего при вычислении значения функции. В этой части данная работа является естественным продолжением и развитием работы [6].

2 Постановка задачи

Рассматривается задача гладкой выпуклой оптимизации

$$f(x) \rightarrow \min_{x \in Q}, \quad (1)$$

где функция $f(x)$, заданная на выпуклом замкнутом множестве $Q \subseteq \mathbb{R}^n$, имеет липшицев градиент с константой L_2

$$\|\nabla f(y) - \nabla f(x)\|_2 \leq L_2 \|y - x\|_2$$

и является μ -сильно выпуклой в p -норме ($1 \leq p \leq 2$), при этом в точке минимума $\nabla f(x_*) = 0$.

В данной работе для решения задачи (1) вместо обычного градиента планируется использовать его стохастическую аппроксимацию, построенную на базе производной по случайно выбранному направлению [6]

$$g(x, e) = n \langle \nabla f(x), e \rangle e,$$

где e — случайный вектор, равномерно распределённый на $S_2^n(1)$ — единичной сфере в 2-норме в пространстве \mathbb{R}^n ($e \in RS_2^n(1)$).

Имеют место следующие простые факты, являющиеся следствием явления концентрации равномерной меры на сфере вокруг экватора — см. лемму 1 и [7] (северный полюс задается градиентом $\nabla f(x)$).

Лемма 1 Пусть $e \in RS_2^n(1)$, тогда

$$\mathbb{E} [\|e\|_q^2] \leq \min \{q - 1, 4 \ln n\} \cdot n^{\frac{2}{q}-1} = c_q n^{\frac{2}{q}-1}, \quad 2 \leq q \leq \infty,$$

$$\mathbb{E} [\langle c, e \rangle^2 \|e\|_q^2] \leq \frac{4}{3} \|c\|_2^2 \min \{q - 1, 4 \ln n\} \cdot n^{\frac{2}{q}-2}, \quad 2 \leq q \leq \infty.$$

Утверждение 1 Пусть $e \in RS_2^n(1)$, тогда

$$E_s [\|g(x, e)\|_q^2] = O \left(c_q n^{\frac{2}{q}} \|\nabla f(x)\|_2^2 \right).$$

Используя утверждение 1, можно в сильно выпуклом случае с $\nabla f(x_*) = 0$ получить следующую оценку необходимого числа обращений к оракулу за производной по направлению для достижения по функции точности ε в среднем ($\tilde{O}() = O()$ с точностью до логарифмического множителя по n)

$$N(\varepsilon) = \tilde{O} \left(n^{\frac{2}{q}} \frac{L_2}{\mu} \ln \left(\frac{\Delta f^0}{\varepsilon} \right) \right),$$

где $\Delta f^0 = f(x^0) - f(x_*)$.

Имеется гипотеза (см., например, [2]), что, используя специальные ускоренные методы (типа Катюши (Katusha), [8]), можно получить оценку

$$N(\varepsilon) = O \left(n^{\frac{1}{q} + \frac{1}{2}} \sqrt{\frac{L_2}{\mu}} \ln \left(\frac{\Delta f^0}{\varepsilon} \right) \right).$$

Насколько нам известно, данная гипотеза на данный момент не доказана и не опровергнута. Несложно распространить выписанные выше две

формулы для $N(\varepsilon)$ с сильно выпуклого случая на выпуклый: надо просто подставить $\mu \sim \varepsilon/R^2$ [9]. Тогда

$$N(\varepsilon) = \tilde{O}\left(n^{\frac{2}{q}} \frac{L_2 R^2}{\varepsilon}\right) - \text{в неускоренном случае,}$$

$$N(\varepsilon) = \tilde{O}\left(n^{\frac{1}{q} + \frac{1}{2}} \sqrt{\frac{L_2 R^2}{\varepsilon}}\right) - \text{в ускоренном.}$$

Последнее соотношение полезно также переписать в следующем (более точном) виде

$$\mathbb{E}[f(x_N)] - f_* \leq C n^{\frac{2}{q} + 1} \ln n \frac{L_2 R^2}{N^2}. \quad (2)$$

В данной работе мы постараемся доказать оценку (2) для случая $Q = \mathbb{R}^n$.

3 Задача А.С. Немировского

Рассмотрим задачу (1) минимизации гладкого выпуклого функционала $f(x)$ с константой Липшица градиента L_2 в 2-норме на множестве $Q = B_1^n(R)$ (шар в пространстве \mathbb{R}^n радиуса R в 1-норме). Тогда нижняя оценка числа итераций (обращений к оракулу за градиентом функции) при $N \leq n$ будет иметь вид [10]

$$f(x^N) - f_* \geq \frac{\tilde{C}_1 L_2 R^2}{N^3}, \quad (3)$$

где \tilde{C}_1 — некоторая числовая константа.¹

С другой стороны, если использовать обычный быстрый градиентный метод с KL-прокс-структурой (см., например, [2]) для этой же задачи, то верхняя оценка будут иметь вид (эта верхняя оценка в общем случае будет и нижней, противоречия с (2) тут нет, потому что, в худшем случае (2) как раз будет соответствовать этой оценке, см. ниже и [9])

$$f(x^N) - f_* \leq \frac{\tilde{C}_2 L_1 R^2 \ln n}{N^2},$$

где константа Липшица градиента L_1 в 1-норме удовлетворяет условию: $L_2/n \leq L_1 \leq L_2$.² Тем не менее, отсюда нельзя сделать вывод, что нижняя оценка достигается. Достигается ли эта нижняя оценка, и, если достигается, на каком методе? — насколько нам известно, это пока

¹Как и \tilde{C}_2 далее.

²Здесь под L_1 понимается такое положительное число, что $\|\nabla f(x) - \nabla f(y)\|_\infty \leq L_1 \|x - y\|_1$.

открытый вопрос, поставленный А.С. Немировским в 2015 году. Однако, если оценивать не число итераций, а общее число арифметических операций и если ограничиться рассмотрением класса функций, для которых стоимость расчёта производной по направлению в примерно n раз меньше стоимости расчёта полного градиента (ввиду быстрого автоматического дифференцирования [11] это предположение довольно обременительное; впрочем, если функция задана моделью чёрного ящика, выдающего только значение функции, а градиент восстанавливается при $n+1$ таком обращении, то сделанное предположение кажется вполне естественным), то при $N \leq n$ (точнее даже при $N \simeq n$) выписанная выше оценка (2) (в варианте для общего числа арифметических операций, необходимых для достижения заданной точности) будет вполне (с точностью до логарифмического множителя) соответствовать нижней оценке (3), если её понимать как

$$f(x^N) - f_* \geq \frac{\tilde{C}_1 L_2 R^2}{n N^2},$$

то есть

$$N(\varepsilon) = O\left(\sqrt{\frac{L_2 R^2}{\varepsilon n}}\right).$$

Действительно ($q = \infty$),

$$\underbrace{O(n) \cdot \tilde{O}\left(n^{\frac{1}{2}} \sqrt{\frac{L_2 R^2}{\varepsilon}}\right)}_{\text{число итераций}} \approx \underbrace{O(n^2) \cdot O\left(\sqrt{\frac{L_2 R^2}{\varepsilon n}}\right)}_{\text{число итераций}}.$$

4 Обоснование формулы (2) в случае $Q = \mathbb{R}^n$

Введем дивергенцию Брэгмана $V_z(y)$, связанную с p -нормой

$$V_z(y) = d(y) - d(z) - \langle \nabla d(z), y - z \rangle,$$

где, например, для $p = 1$

$$d(x) = \frac{1}{2(a-1)} \|x\|_a^2,$$

где $a = \frac{2 \log n}{2 \log n - 1}$. Далее будем следовать обозначениям работы [12]. Пусть случайный вектор e равномерно распределён на поверхности евклидовой сферы единичного радиуса ($e \in RS_2^n(1)$). Положим

$$\text{Grad}_e(x) = x - \frac{1}{L} \langle \nabla f(x), e \rangle e,$$

$$\text{Mirr}_e(x, z, \alpha) = \underset{y \in \mathbb{R}^n}{\operatorname{argmin}} \left\{ \alpha \langle n \langle \nabla f(x), e \rangle e, y - z \rangle + V_z(y) \right\}.$$

Опишем костяк ускоренного метода (Accelerated by Coupling Randomized Coordinate Descent — ACRCD), построенного на базе специального каплинга спусков по направлению в форме градиентного спуска (Grad) и метода зеркального спуска (Mirr).

Algorithm 1 ACRCD

Вход: f — выпуклая дифференцируемая функция на \mathbb{R}^n с липшицевым градиентом с константой L по отношению к p -норме; x_0 — некоторая стартовая точка; N — количество итераций.

Выход: точка y_N , для которой выполняется $\mathbb{E}_{e_1, e_2, \dots, e_N}[f(y_N)] - f(x^*) \leq \frac{4\Theta LC_n}{N^2}$.

- 1: $y_0 \leftarrow x_0, z_0 \leftarrow x_0$
 - 2: **for** $k = 0, \dots, N - 1$
 - 3: $\alpha_{k+1} \leftarrow \frac{k+2}{2LC_n}, \tau_k \leftarrow \frac{1}{\alpha_{k+1}LC_n} = \frac{2}{k+2}$
 - 4: Генерируется $e_{k+1} \in RS_2^n(1)$, независимо от предыдущих итераций
 - 5: $x_{k+1} \leftarrow \tau_k z_k + (1 - \tau_k)y_k$
 - 6: $y_{k+1} \leftarrow \text{Grad}_{e_{k+1}}(x_{k+1})$
 - 7: $z_{k+1} \leftarrow \text{Mirr}_{e_{k+1}}(x_{k+1}, z_k, \alpha_{k+1})$
 - 8: **end for**
 - 9: **return** y_N
-

Теорема 1 Пусть $f(x)$ — выпуклая дифференцируемая функция на $Q = \mathbb{R}^n$ с константой Липшица для градиента равной L , $d(x)$ — 1-сильно выпуклая в p -норме функция на Q , N — число итераций метода. Тогда ACRCD на выходе даст точку y_N , удовлетворяющую неравенству

$$\mathbb{E}_{e_1, e_2, \dots, e_N}[f(y_N)] - f(x^*) \leq \frac{4\Theta LC_n}{N^2},$$

где $\Theta = V_{x_0}(x^*)$, $C_n = \frac{4}{3} \min\{q - 1, 4 \ln n\} \cdot n^{\frac{2}{q} + 1}$.

Такой выбор α_k и τ_k будет объяснён далее. Сформулируем две ключевые леммы, которые понадобятся для доказательства теоремы 1 (доказательства этих лемм приведены в приложении).

Лемма 2 Если $\tau_k = \frac{1}{\alpha_{k+1}LC_n}$, то для всех $u \in Q = \mathbb{R}^n$ верны неравенства

$$\begin{aligned} & \alpha_{k+1} \langle \nabla f(x_{k+1}), z_k - u \rangle \\ & \leq \alpha_{k+1}^2 \cdot \frac{C_n}{2n} \|\nabla f(x_{k+1})\|_2^2 + V_{z_k}(u) - \mathbb{E}_{e_{k+1}}[V_{z_{k+1}}(u) \mid e_1, e_2, \dots, e_k] \\ & \leq \alpha_{k+1}^2 LC_n \cdot (f(x_{k+1}) - \mathbb{E}_{e_{k+1}}[f(y_{k+1}) \mid e_1, e_2, \dots, e_k]) \\ & \quad + V_{z_k}(u) - \mathbb{E}_{e_{k+1}}[V_{z_{k+1}}(u) \mid e_1, e_2, \dots, e_k]. \end{aligned} \tag{4}$$

Лемма 3 Для всех $u \in Q = \mathbb{R}^n$ выполнено

$$\begin{aligned} \alpha_{k+1}^2 LC_n \mathbb{E}_{e_{k+1}}[f(y_{k+1}) \mid e_1, \dots, e_k] - (\alpha_{k+1}^2 LC_n - \alpha_{k+1}) f(y_k) + \\ \mathbb{E}_{e_{k+1}}[V_{z_{k+1}}(u)] - V_{z_k}(u) \leq \alpha_{k+1} f(u). \end{aligned} \quad (5)$$

Доказательство теоремы 1. Заметим, что при $\alpha_{k+1} = \frac{k+2}{2LC_n}$ выполнено

$$\alpha_k^2 LC_n = \alpha_{k+1}^2 LC_n - \alpha_{k+1} + \frac{1}{4LC_n}.$$

Возьмём для $k = 0, 1, \dots, N-1$ от каждого неравенства (5) математическое ожидание по e_1, e_2, \dots, e_N , просуммируем полученные неравенства и получим

$$\alpha_N^2 LC_n \mathbb{E}[f(y_N)] + \sum_{k=1}^{N-1} \frac{1}{4LC_n} \mathbb{E}[f(y_k)] + \mathbb{E}[V_{z_N}(u)] - V_{z_0}(u) \leq \sum_{k=1}^N \alpha_k f(u),$$

где $\mathbb{E}[\cdot] = \mathbb{E}_{e_1, e_2, \dots, e_N}[\cdot]$. Положим $u = x^*$. Так как $\sum_{k=1}^N \alpha_k = \frac{N(N+3)}{4LC_n}$, $\mathbb{E}[f(y_k)] \geq f(x^*)$, $V_{z_N}(u) \geq 0$ и $V_{z_0}(x^*) = V_{x_0}(x^*) \leq \Theta$, то выполняется неравенство

$$\frac{(N+1)^2}{4LC_n} \mathbb{E}[f(y_N)] \leq \left(\frac{N(N+3)}{4LC_n} - \frac{N-1}{4LC_n} \right) f(x^*) + \Theta,$$

откуда следует, что $\mathbb{E}[f(y_N)] \leq f(x^*) + \frac{4\Theta LC_n}{(N+1)^2}$. Теорема доказана.

Сложности возникают при попытке перенесения этого результата на случай $Q \neq \mathbb{R}^n$. Ограничимся рассмотрением случая $p = q = 2$, так как даже для него не удаётся обобщить рассуждения из [5]. Введём следующее обозначение

$$\text{Prog}_s(x) \stackrel{\text{def}}{=} -\min_{y \in Q} \left\{ \langle s, y - x \rangle + \frac{L}{2} \left\| y - x \right\|_2^2 \right\}.$$

Заметим, что лемма 1 в евклидовом случае упрощается, а именно

$$\mathbb{E}_e[\langle s, e \rangle] = \frac{\|s\|_2^2}{n},$$

где $e \in RS_2^n$. Отсюда следует, что $C_n = n^2$. Если положить

$$\text{Grad}_e(x) = \arg \min_{y \in Q} \left\{ \langle \langle \nabla f(x), e \rangle e, x - y \rangle - \frac{L}{2} \left\| y - x \right\|_2^2 \right\},$$

$$\text{Mirr}_e(x, z, \alpha) = \arg \min_{y \in Q} \left\{ \alpha \langle n \langle \nabla f(x), e \rangle e, y - z \rangle + V_z(y) \right\},$$

то, чтобы обобщить приведённые выше рассуждения на условный случай, нужно оценить подходящим образом $\text{Prog}_{n\langle \nabla f(x), e \rangle e}(x_{k+1})$ (точнее, его математическое ожидание по e_{k+1}), то есть хотелось бы доказать оценку

$$\mathbb{E}_{e_{k+1}} [\text{Prog}_{n\langle \nabla f(x_{k+1}), e_{k+1} \rangle e_{k+1}}(x_{k+1})] \leq n^2 (f(x_{k+1}) - \mathbb{E}[f(y_{k+1})]). \quad (6)$$

К сожалению, существует пример выпуклой L -гладкой³ функции и замкнутого выпуклого множества, для которых (6) не выполняется.

Сначала рассмотрим более детально $\text{Prog}_\xi(x)$:

$$\begin{aligned} \text{Prog}_\xi(x) &= -\min_{y \in Q} \left\{ \frac{L}{2} \left\| y - x \right\|_2^2 + \langle \xi, y - x \rangle \right\} = \\ &= -\min_{y \in Q} \left\{ \frac{L}{2} \left\| y - x \right\|_2^2 + \langle \xi, y - x \rangle + \frac{1}{2L} \left\| \xi \right\|_2^2 \right\} + \frac{1}{2L} \left\| \xi \right\|_2^2 \\ &= -\min_{y \in Q} \left\{ \left\| \frac{1}{\sqrt{2L}} \xi + \sqrt{\frac{L}{2}} \cdot y - \sqrt{\frac{L}{2}} \cdot x \right\|_2^2 \right\} + \frac{1}{2L} \left\| \xi \right\|_2^2 \\ &= -\frac{L}{2} \min_{y \in Q} \left\{ \left\| y - \left(x - \frac{1}{L} \xi \right) \right\|_2^2 \right\} + \frac{1}{2L} \left\| \xi \right\|_2^2, \end{aligned}$$

то есть точка, в которой достигается этот минимум,

$$\hat{y} = \pi_Q \left(x - \frac{1}{L} \xi \right).$$

Тогда

$$y_{k+1} = \pi_Q \left(x - \frac{1}{L} s_{k+1} \right), \quad s_{k+1} \stackrel{\text{def}}{=} \langle \nabla f(x_{k+1}), e_{k+1} \rangle e_{k+1}.$$

Кроме того, обозначим через \tilde{y}_{k+1} точку множества Q , в которой достигается минимум в формуле для $\text{Prog}_{n\langle \nabla f(x_{k+1}), e_{k+1} \rangle e_{k+1}}(x_{k+1})$. Тогда

$$\tilde{y}_{k+1} = \pi_Q \left(x - \frac{n}{L} s_{k+1} \right).$$

Также для удобства рассмотрим следующие представления для y_{k+1} и \tilde{y}_{k+1} :

$$\begin{aligned} y_{k+1} &= x_{k+1} - \frac{1}{L} s_{k+1} + r_{k+1}, \\ \tilde{y}_{k+1} &= x_{k+1} - \frac{n}{L} s_{k+1} + \tilde{r}_{k+1}, \end{aligned}$$

где r_{k+1} и \tilde{r}_{k+1} будем называть векторами невязок.

³Дифференцируемая функция с липшицевым градиентом.

Рассмотрим функцию

$$f(y) = f(x_{k+1}) + \langle \nabla f(x_{k+1}), y - x_{k+1} \rangle + \frac{L}{2} \|y - x_{k+1}\|_2^2 \quad (7)$$

и множество, изображённое на рисунке 1 (в качестве $\nabla f(x_{k+1})$ можно выбрать любой ненулевой вектор, а в качестве Q — прямоугольный параллелепипед с достаточно длинными сторонами, в центре одной из гиперграней которого размещена точка x_{k+1}). Подставим в (7) значение

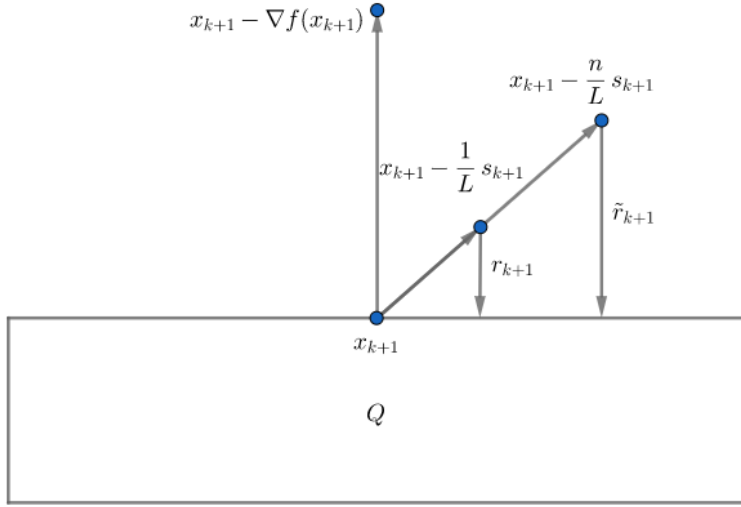


Рис. 1: Пример ситуации, когда ключевое неравенство не выполнено

$y = y_{k+1}$ и воспользуемся представлением y_{k+1} из шага 1:

$$-\langle \nabla f(x_{k+1}), -\frac{1}{L}s_{k+1} + r_{k+1} \rangle - \frac{L}{2} \|r_{k+1} - \frac{1}{L}s_{k+1}\|_2^2 = f(x_{k+1}) - f(y_{k+1}).$$

Далее воспользуемся тем, что $s_{k+1} = \langle \nabla f(x_{k+1}), e_{k+1} \rangle e_{k+1}$:

$$\begin{aligned} \frac{1}{L} \langle \nabla f(x_{k+1}), e_{k+1} \rangle^2 - \langle \nabla f(x_{k+1}), r_{k+1} \rangle - \frac{L}{2} \|r_{k+1}\|_2^2 + \langle r_{k+1}, s_{k+1} \rangle \\ - \frac{1}{2L} \langle \nabla f(x_{k+1}), e_{k+1} \rangle^2 = f(x_{k+1}) - f(y_{k+1}), \end{aligned}$$

или в более компактной форме

$$\begin{aligned} \frac{1}{2L} \langle \nabla f(x_{k+1}), e_{k+1} \rangle^2 - \frac{L}{2} \|r_{k+1}\|_2^2 + \langle r_{k+1}, s_{k+1} - \nabla f(x_{k+1}) \rangle \\ = f(x_{k+1}) - f(y_{k+1}). \end{aligned} \quad (8)$$

При таком выборе функции и множества получаем, что $n^2 \cdot \|r_{k+1}\|_2^2 = \|\tilde{r}_{k+1}\|_2^2$ для всех единичных e . Действительно,

$$\text{Prog}_{\langle \nabla f(x_{k+1}), e_{k+1} \rangle e_{k+1}}(x_{k+1}) = \frac{1}{2L} \langle \nabla f(x_{k+1}), e_{k+1} \rangle^2 - \frac{L}{2} \|r_{k+1}\|_2^2$$

и

$$\text{Prog}_{n\langle \nabla f(x_{k+1}), e_{k+1} \rangle e_{k+1}}(x_{k+1}) = \frac{n^2}{2L} \langle \nabla f(x_{k+1}), e_{k+1} \rangle^2 - \frac{L}{2} \left\| \tilde{r}_{k+1} \right\|_2^2,$$

то

$$\text{Prog}_{n\langle \nabla f(x_{k+1}), e_{k+1} \rangle e_{k+1}}(x_{k+1}) = n^2 \text{Prog}_{\langle \nabla f(x_{k+1}), e_{k+1} \rangle e_{k+1}}(x_{k+1}).$$

Отсюда и из (8) следует, что

$$\begin{aligned} \frac{1}{n^2} \text{Prog}_{n\langle \nabla f(x_{k+1}), e_{k+1} \rangle e_{k+1}}(x_{k+1}) + \langle r_{k+1}, s_{k+1} - \nabla f(x_{k+1}) \rangle \\ = f(x_{k+1}) - f(y_{k+1}). \end{aligned}$$

Заметим, что вектор s_{k+1} всегда короче (точнее, не длиннее) вектора $\nabla f(x_{k+1})$ и направлен «вниз» (то есть в то же полупространство, образованное гранью Q , на которой лежит точка x_{k+1}), как и $\nabla f(x_{k+1})$. Значит, разность $s_{k+1} - \nabla f(x_{k+1})$ будет направлена в противоположную часть пространства. А вектор r_{k+1} тоже направлен вниз. Следовательно, всегда выполняется $\langle r_{k+1}, s_{k+1} - \nabla f(x_{k+1}) \rangle \leq 0$, причём с ненулевой вероятностью выполнено строгое неравенство. Это означает, что

$$\mathbb{E}_{e_{k+1}} [\langle r_{k+1}, s_{k+1} - \nabla f(x_{k+1}) \rangle] < 0.$$

Поэтому

$$\begin{aligned} \mathbb{E}_{e_{k+1}} [\text{Prog}_{n\langle \nabla f(x_{k+1}), e_{k+1} \rangle e_{k+1}}(x_{k+1})] \\ = n^2 (f(x_{k+1}) - \mathbb{E}_{e_{k+1}} [f(y_{k+1})]) - \mathbb{E}_{e_{k+1}} [\langle r_{k+1}, s_{k+1} - \nabla f(x_{k+1}) \rangle] \\ > n^2 (f(x_{k+1}) - \mathbb{E}_{e_{k+1}} [f(y_{k+1})]). \end{aligned}$$

5 Численные эксперименты

Для практического применения предложенный метод ускоренного спуска по случайному направлению ACRCD был реализован на языке программирования Python. Код метода и демонстрация вычислительных свойств метода с построением графиков сходимости доступны как Jupyter Notebook и выложены в свободном доступе на Github [13].

Рассмотрим следующую задачу. Пусть A — матрица размера $n \times n$ с элементами из $[0, 1]$, а матрица $B = \frac{A^T A}{\sigma_{\max}(A)}$, где $\sigma_{\max}(A)$ — максимальное собственное значение матрицы A .

Необходимо минимизировать функцию

$$f = \frac{1}{2} \langle x - x^*, B(x - x^*) \rangle, \quad x \in \mathbb{R}^n, \tag{9}$$

где $x^* = (1, 0, 0, \dots, 0)^T$. Решение этой задачи известно и равно x^* , $f(x^*) = 0$. Начальная точка x_0 для всех экспериментов выбиралась как $(0, 0, 0, \dots, 1)^T$.

Следует отметить важность достаточно точного решения вспомогательной задачи минимизации для нахождения z_{k+1} на шаге 7 алгоритма (зеркальный спуск). В нашем случае эту задачу с помощью метода множителей Лагранжа можно свести к задаче одномерной минимизации, подробности см. в [13]. В реализации метода одномерная минимизация выполняется с помощью обычной дихотомии с точностью, на два порядка превышающей заданную.

Для различных n и заданной точности ε были рассчитаны теоретически требуемое значение итераций по теореме 1 и проведена проверка сходимости на практике. Для данной задачи во всех случаях практическая скорость сходимости по функции была почти на порядок выше. Так, например, для $n = 10$, $\varepsilon = 10^{-3}$, $L = 1000$ заданная точность была достигнута менее чем за 4500 итераций (см. рис. 2), а теоретическая оценка числа итераций даёт 23634. Далее, для $n = 10^3$, $\varepsilon = 10^{-4}$, $L = 1$ заданная точность достигается менее чем за 5000 итераций (см. рис. 3), а теоретическая оценка числа итераций в этом случае даёт 43269.

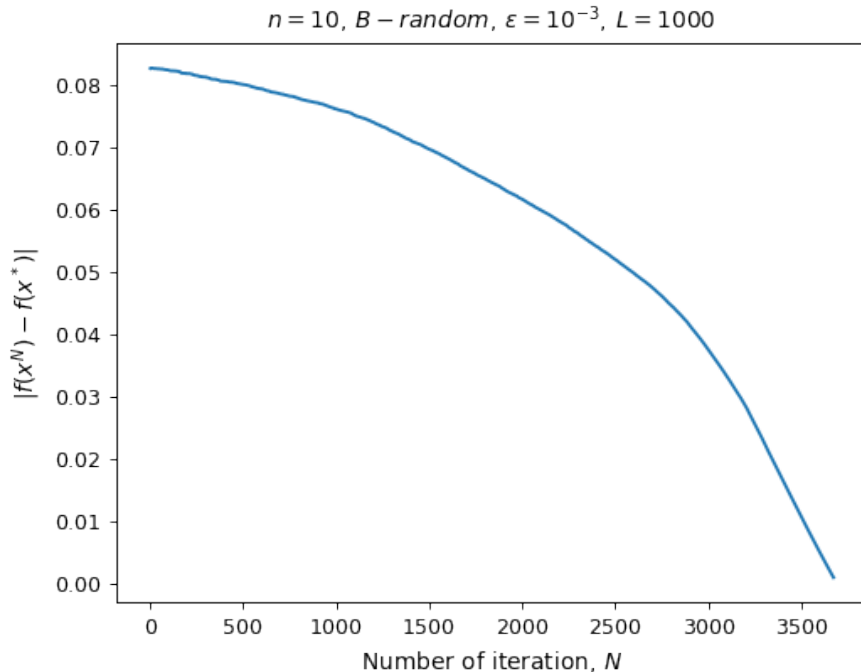


Рис. 2: Сходимость метода ACRCD для функции (9), размерность $n = 10$. Показана зависимость точности нахождения минимума $|f(x^N) - f(x^*)|$ от числа итераций N алгоритма. L — заданная константа Липшица градиента целевой функции

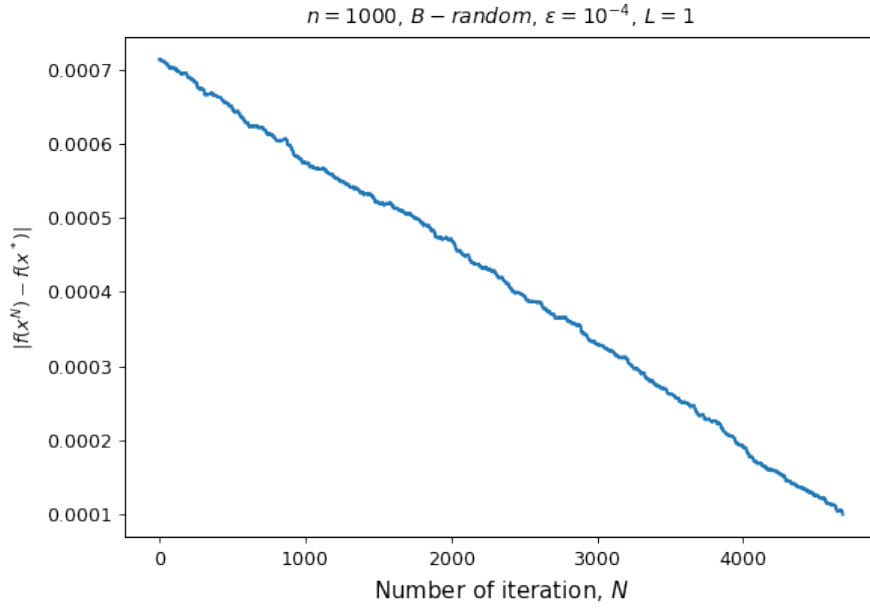


Рис. 3: Сходимость метода ACRCD для функции (9), размерность $n = 10^3$. Показана зависимость точности нахождения минимума $|f(x^N) - f(x^*)|$ от числа итераций N алгоритма. L — заданная константа Липшица градиента целевой функции

В целом, численные эксперименты с ускоренным спуском по случайному направлению подтверждают теоретические результаты.

6 Неточный оракул

Пусть теперь вычисление производной по направлению производится приближённо, то есть мы будем использовать не $\langle \nabla f(x), e \rangle e$, а приближённый аналог⁴

$$\frac{f(x + te) - f(x)}{t} e, t > 0.$$

Более того, предположим, что оракул может выдавать значение функции в любой точке, но с некоторым шумом $\delta(x)$, то есть от оракула мы получаем значения $\tilde{f}(x) = f(x) + \delta(x)$, поэтому, на самом деле, вынуждены использовать

$$\frac{\tilde{f}(x + te) - \tilde{f}(x)}{t} e,$$

вместо $\langle \nabla f(x), e \rangle e$.

Итак, в силу сделанных предположений, теперь работаем не с истинной производной по направлению, а с её приближённым аналогом

$$\langle \tilde{\nabla}_{\delta, t} f(x), e \rangle e \stackrel{\text{def}}{=} (\langle \nabla f(x), e \rangle + \delta_{\nabla}(x, t, e)) e,$$

⁴В этом разделе мы существенно опирались на работу [6].

где $\delta_\nabla(x, t, e)$ — ошибка приближения значения $\langle \nabla f(x), e \rangle$, связанная с вычислительной ошибкой (значения функции известны с некоторым шумом) и с аппроксимационной ошибкой метода приближения, то есть

$$\delta_\nabla(x, t, e) = \underbrace{\frac{\delta(x + te) - \delta(x)}{t}}_{\text{вычислительная ошибка}} + \underbrace{\frac{f(x + te) - f(x)}{t} - \langle \nabla f(x), e \rangle}_{\text{ошибка метода}}.$$

Ограничимся рассмотрением следующей концепции абсолютной неточности оракула. Пусть про шум известно, что $\forall x \in \mathbb{R}^n \rightarrow |\delta(x)| \leq \delta$. Оценим $|\delta_\nabla(x, e, t)|$:⁵

$$|\delta_\nabla(x, t)| \leq \frac{|\delta(x+te)| + |\delta(x)|}{t} + \left| \frac{f(x+te) - f(x)}{t} - \langle \nabla f(x), e \rangle \right| \leq \frac{2\delta}{t} + \frac{Lt}{2},$$

где последнее слагаемое в правой части возникает в силу

$$f(x + te) - f(x) - \langle \nabla f(x), x + te - x \rangle \leq \frac{L}{2} \|x + te - x\|_2^2.$$

Выберем параметр $t = t^*$ так, чтобы минимизировать значение верхней оценки на $\delta_\nabla(x, t)$. Параметр t^* находится из условия

$$-\frac{2\delta}{(t^*)^2} + \frac{L}{2} = 0 \Rightarrow t^* = 2\sqrt{\frac{\delta}{L}}.$$

Тогда $|\delta_\nabla(x, t^*)| \leq 2\sqrt{L\delta} \stackrel{\text{def}}{=} \tilde{\delta}$. Везде далее мы будем использовать параметр $t = t^*$, поэтому можно писать $\delta_\nabla(x, t^*) = \delta_\nabla(x)$.

Посмотрим, что изменится при таком подходе. Во-первых, теперь мы будем считать, что

$$\text{Grad}_e(x) = x - \frac{1}{L} \langle \tilde{\nabla} f(x), e \rangle e,$$

$$\text{Mirr}_e(x, z, \alpha) = \underset{y \in \mathbb{R}^n}{\operatorname{argmin}} \left\{ \alpha \left\langle n \langle \tilde{\nabla} f(x), e \rangle e, y - z \right\rangle + V_z(y) \right\},$$

где

$$\langle \tilde{\nabla} f(x), e \rangle e \stackrel{\text{def}}{=} (\langle \nabla f(x), e \rangle + \delta_\nabla(x)) e.$$

После такого переобозначения алгоритм ACRCD внешне никак не поменяется. В свою очередь, леммы 2 и 3 и теорема 1 изменятся, о чём будет подробнее написано далее. Сформулируем аналоги лемм 2 и 3 (доказательства можно прочитать в приложении), а затем сформулируем и докажем аналог теоремы 1.

⁵Везде далее вместо $\delta_\nabla(x, e, t)$ будем писать $\delta_\nabla(x, t)$. Конечно, ошибка вычисления производной по направлению в общем случае зависит от направления, но для наших целей это будет не важно, так как во всех местах, где эта зависимость существенна, мы будем оценивать $|\delta_\nabla(x, e, t)|$ сверху константой, которую сейчас и получим.

Лемма 4 Если $\tau_k = \frac{1}{\alpha_{k+1}LC_n}$, то для всех $u \in Q = \mathbb{R}^n$ верны неравенства

$$\begin{aligned} & \alpha_{k+1} \langle \nabla f(x_{k+1}), z_k - u \rangle \\ & \leq \alpha_{k+1}^2 \cdot \frac{C_n}{2n} \|\nabla f(x_{k+1})\|_2^2 + V_{z_k}(u) - \mathbb{E}_{e_{k+1}}[V_{z_{k+1}}(u) \mid e_1, e_2, \dots, e_k] \\ & \quad + n\alpha_{k+1} \mathbb{E}_{e_{k+1}}[\delta_\nabla(x_{k+1}) \langle e_{k+1}, u - z_{k+1} \rangle \mid e_1, e_2, \dots, e_k] \\ & \leq \alpha_{k+1}^2 LC_n \cdot (f(x_{k+1}) - \mathbb{E}_{e_{k+1}}[f(y_{k+1}) \mid e_1, e_2, \dots, e_k]) \\ & \quad + V_{z_k}(u) - \mathbb{E}_{e_{k+1}}[V_{z_{k+1}}(u) \mid e_1, e_2, \dots, e_k] \\ & \quad + n\alpha_{k+1} \mathbb{E}_{e_{k+1}}[\delta_\nabla(x_{k+1}) \langle e_{k+1}, u - z_{k+1} \rangle \mid e_1, e_2, \dots, e_k]. \end{aligned} \quad (10)$$

Лемма 5 Для всех $u \in Q = \mathbb{R}^n$ выполнено

$$\begin{aligned} & \alpha_{k+1}^2 LC_n \mathbb{E}_{e_{k+1}}[f(y_{k+1}) \mid e_1, \dots, e_k] \\ & \quad - (\alpha_{k+1}^2 LC_n - \alpha_{k+1}) f(y_k) + \mathbb{E}_{e_{k+1}}[V_{z_{k+1}}(u)] - V_{z_k}(u) \\ & - n\alpha_{k+1} \mathbb{E}_{e_{k+1}}[\delta_\nabla(x_{k+1}) \langle e_{k+1}, u - z_{k+1} \rangle \mid e_1, e_2, \dots, e_k] \leq \alpha_{k+1} f(u). \end{aligned} \quad (11)$$

Теорема 2 Пусть $f(x)$ — выпуклая дифференцируемая функция на $Q = \mathbb{R}^n$ с константой Липшица для градиента, равной L , $d(x)$ — 1-сильно выпуклая в p -норме функция на Q , $N \in \mathbb{N}$. Тогда ACRCD на выходе даст точку y_N , удовлетворяющую неравенству

$$\mathbb{E}_{e_1, e_2, \dots, e_N}[f(y_N)] - f(x^*) \leq \frac{8\Theta LC_n}{N^2} + 3\delta(N+2)^2, \quad (12)$$

$$\text{где } \Theta = V_{x_0}(x^*), C_n = \frac{4}{3} \min\{q-1, 4\ln n\} \cdot n^{\frac{2}{q}-1}.$$

Доказательство теоремы 2. Покажем, что

$$\mathbb{E}[\langle \delta_\nabla(x_{k+1}) e_{k+1}, x^* - z_{k+1} \rangle] \leq \tilde{\delta} \tilde{C}_n \sqrt{\mathbb{E}[R_{k+1}^2]}, \quad (13)$$

где $R_{k+1} = \|x^* - z_{k+1}\|_p$, $\tilde{C}_n = \sqrt{\min\{q-1, 4\ln n\} n^{\frac{2}{q}-1}} = \sqrt{\frac{3}{4n^2} C_n}$, а математическое ожидание берётся по всем e_1, e_2, \dots, e_m , где $m \geq k+1$. Действительно,

$$\begin{aligned} & \mathbb{E}[\langle \delta_\nabla(x_{k+1}) e_{k+1}, x^* - z_{k+1} \rangle] \\ & \stackrel{(*)}{\leq} \mathbb{E}[|\delta_\nabla(x_{k+1}) e_{k+1}|_q \cdot \|x^* - z_{k+1}\|_p] \\ & \stackrel{(**)}{\leq} \sqrt{\mathbb{E}[|\delta_\nabla(x_{k+1})|^2 \|e_{k+1}\|_q^2] \cdot \mathbb{E}[R_{k+1}^2]} \stackrel{(***)}{\leq} \tilde{\delta} \tilde{C}_n \sqrt{\mathbb{E}[R_{k+1}^2]}. \end{aligned}$$

Неравенство (*) верно в силу неравенства Гёльдера; (**) выполняется в силу $\mathbb{E}[XY] \leq \sqrt{\mathbb{E}[X^2]\mathbb{E}[Y^2]}$; наконец, (***) имеет место, так как в силу леммы 1 $\mathbb{E}[\|e_{k+1}\|_q^2] \leq \min\{q-1, 4\ln n\} n^{\frac{2}{q}-1}$, $|\delta_\nabla(x_{k+1})| \leq \tilde{\delta}$.

Теперь возьмём для $k = 0, 1, \dots, m-1$ от неравенства (11) математическое ожидание по e_1, e_2, \dots, e_m , воспользуемся (13) и просуммируем полученные неравенства (берём $u = x^*$):

$$\alpha_m^2 LC_n \mathbb{E}[f(y_m)] + \sum_{k=1}^{m-1} \frac{1}{4LC_n} \mathbb{E}[f(y_k)] \\ + \mathbb{E}[V_{z_m}(x^*)] - V_{z_0}(x^*) - n\tilde{\delta}\tilde{C}_n \sum_{k=0}^{m-1} \alpha_{k+1} \sqrt{\mathbb{E}[R_{k+1}^2]} \leq \sum_{k=1}^m \alpha_k f(x^*).$$

Так как $\sum_{k=1}^m \alpha_k = \frac{m(m+3)}{4LC_n}$, $\mathbb{E}[f(y_k)] \geq f(x^*)$, $V_{z_0}(x^*) = V_{x_0}(x^*) \leq \Theta$, то выполняется неравенство

$$\leq \left(\frac{m(m+3)}{4LC_n} - \frac{m-1}{4LC_n} \right) f(x^*) + \Theta - \mathbb{E}[V_{z_m}(x^*)] + n\tilde{\delta}\tilde{C}_n \sum_{k=0}^{m-1} \alpha_{k+1} \sqrt{\mathbb{E}[R_{k+1}^2]}.$$

Введём обозначение: $A_m \stackrel{\text{def}}{=} \frac{(m+1)^2}{4LC_n}$. Тогда последнее неравенство можно записать в виде

$$0 \leq A_m (\mathbb{E}[f(y_m)] - f(x^*)) \\ \leq \Theta - \mathbb{E}[V_{z_m}(x^*)] + n\tilde{\delta}\tilde{C}_n \sum_{k=0}^{m-1} \alpha_{k+1} \sqrt{\mathbb{E}[R_{k+1}^2]}, \quad (14)$$

откуда следует ещё одно полезное неравенство

$$\mathbb{E}[V_{z_m}(x^*)] \leq \Theta + n\tilde{\delta}\tilde{C}_n \sum_{k=0}^{m-1} \alpha_{k+1} \sqrt{\mathbb{E}[R_{k+1}^2]}. \quad (15)$$

Отметим, что в (14) и (15) под $\mathbb{E}[\cdot]$ понимается математическое ожидание по e_1, e_2, \dots, e_m , то есть имеется зависимость от m . Но если мы работаем с $m \leq N$ (то есть алгоритм делает N итераций), то можно понимать $\mathbb{E}[\cdot]$ как математическое ожидание по e_1, \dots, e_N .

Так как $V_{z_m}(x)$ задана 1-сильно выпуклой прокс-функцией $d(x)$, имеем $V_{z_m}(x^*) \geq \frac{1}{2} \|x^* - z_m\|_p^2$. Отсюда и из (15) получаем

$$\frac{1}{2} \mathbb{E}[R_1^2] \leq \mathbb{E}[V_{z_1}(x^*)] \leq \Theta + n\tilde{\delta}\tilde{C}_n \alpha_1 \sqrt{\mathbb{E}[R_1^2]},$$

что можно рассматривать как квадратное неравенство относительно $\sqrt{\mathbb{E}[R_1^2]}$. В таком случае

$$\sqrt{\mathbb{E}[R_1^2]} \leq n\tilde{\delta}\tilde{C}_n \alpha_1 + \sqrt{(n\tilde{\delta}\tilde{C}_n \alpha_1)^2 + 2\Theta} \leq 2n\tilde{\delta}\tilde{C}_n \alpha_1 + \sqrt{2\Theta},$$

где последнее неравенство есть следствие $\sqrt{a^2 + b^2} \leq a + b$ для $a \geq 0$, $b \geq 0$. Отсюда получаем, что

$$\begin{aligned} & \Theta + n\tilde{C}_n\alpha_1\sqrt{\mathbb{E}[R_1^2]} \\ & \leq \Theta + 2(n\tilde{C}_n\alpha_1)^2 + \sqrt{2}\Theta n\tilde{C}_n\alpha_1 \\ & \leq \left(\sqrt{\Theta} + \sqrt{2}n\tilde{C}_n\left(A_1 + \frac{1}{4LC_n}\right)\right)^2, \end{aligned}$$

так как $\alpha_{k+1} = A_{k+1} - A_k + \frac{1}{4LC_n}$. Покажем индукцией по m , что

$$\Theta + n\tilde{C}_n \sum_{k=0}^{m-1} \alpha_{k+1} \sqrt{\mathbb{E}[R_{k+1}^2]} \leq \left(\sqrt{\Theta} + \sqrt{2}n\tilde{C}_n\left(A_m + \frac{m}{4LC_n}\right)\right)^2. \quad (16)$$

Для $m = 1$ неравенство (16) мы уже доказали. Предположим, что неравенство (16) верно для некоторого m . Покажем, что оно выполнено и для $m + 1$. Опять же, из (15) следует

$$\frac{1}{2}\mathbb{E}[R_{m+1}^2] \leq \mathbb{E}[V_{z_{m+1}}(x^*)] \leq \Theta + n\tilde{C}_n \sum_{k=0}^m \alpha_{k+1} \sqrt{\mathbb{E}[R_{k+1}^2]}.$$

Используя предположение индукции, получаем

$$\frac{1}{2}\mathbb{E}[R_{m+1}^2] \leq \left(\sqrt{\Theta} + \sqrt{2}n\tilde{C}_n\left(A_m + \frac{m}{4LC_n}\right)\right)^2 + n\tilde{C}_n\alpha_{m+1}\sqrt{\mathbb{E}[R_{m+1}^2]}. \quad (17)$$

Рассматривая (17) как квадратное неравенство относительно $\sqrt{\mathbb{E}[R_{m+1}^2]}$, приходим к неравенству

$$\begin{aligned} & \sqrt{\mathbb{E}[R_{m+1}^2]} \leq n\tilde{C}_n\alpha_{m+1} \\ & + \sqrt{(n\tilde{C}_n\alpha_{m+1})^2 + 2\left(\sqrt{\Theta} + \sqrt{2}n\tilde{C}_n\left(A_m + \frac{m}{4LC_n}\right)\right)^2} \\ & \leq 2n\tilde{C}_n\alpha_{m+1} + \sqrt{2}\left(\sqrt{\Theta} + \sqrt{2}n\tilde{C}_n\left(A_m + \frac{m}{4LC_n}\right)\right), \end{aligned}$$

где последнее неравенство есть следствие $\sqrt{a^2 + b^2} \leq a + b$ для $a \geq 0$, $b \geq 0$. Отсюда и из предположения индукции получаем

$$\begin{aligned} & \Theta + n\tilde{C}_n \sum_{k=0}^m \alpha_{k+1} \sqrt{\mathbb{E}[R_{k+1}^2]} \leq \left(\sqrt{\Theta} + \sqrt{2}n\tilde{C}_n\left(A_m + \frac{m}{4LC_n}\right)\right)^2 \\ & + 2(n\tilde{C}_n\alpha_{m+1})^2 + \sqrt{2}n\tilde{C}_n\alpha_{m+1}\left(\sqrt{\Theta} + \sqrt{2}n\tilde{C}_n\left(A_m + \frac{m}{4LC_n}\right)\right) \\ & \leq \left(\sqrt{\Theta} + \sqrt{2}n\tilde{C}_n\left(A_m + \frac{m}{4LC_n}\right) + \sqrt{2}n\tilde{C}_n\alpha_{m+1}\right)^2 \\ & = \left(\sqrt{\Theta} + \sqrt{2}n\tilde{C}_n\left(A_{m+1} + \frac{m+1}{4LC_n}\right)\right)^2, \end{aligned}$$

так как $\alpha_{m+1} = A_{m+1} - A_m + \frac{1}{4LC_n}$.

Итак, мы показали, что (16) верно. Из (16) и $\mathbb{E}[V_{z_N}(x^*)] \geq 0$ получаем

$$\begin{aligned} & \Theta - \mathbb{E}[V_{z_N}(x^*)] + n\tilde{\delta}\tilde{C}_n \sum_{k=0}^{N-1} \alpha_{k+1} \sqrt{\mathbb{E}[R_{k+1}^2]} \\ & \leq \left(\sqrt{\Theta} + \sqrt{2}n\tilde{\delta}\tilde{C}_n \left(A_N + \frac{N}{4LC_n} \right) \right)^2 \stackrel{(*)}{\leq} 2\Theta + 4n^2\tilde{\delta}^2\tilde{C}_n^2 \left(A_N + \frac{N}{4LC_n} \right)^2 \\ & = 2\Theta + n^2\tilde{\delta}^2\tilde{C}_n^2 \cdot \frac{((N+1)^2+N)^2}{4L^2C_n^2} \leq 2\Theta + n^2\tilde{\delta}^2\tilde{C}_n^2 \cdot \frac{(N+1)^2(N+2)^2}{4L^2C_n^2} \\ & \stackrel{(**)}{=} 2\Theta + 3\tilde{\delta}^2 \frac{(N+1)^2(N+2)^2}{16L^2C_n} = 2\Theta + 3\tilde{\delta}^2 A_N \cdot \frac{(N+2)^2}{4L}, \end{aligned}$$

где (*) выполнено в силу неравенства $(a+b)^2 \leq 2a^2 + 2b^2$ для $a, b \in \mathbb{R}$,
(**) следует из определения \tilde{C}_n . Отсюда и из (14) следует неравенство

$$\mathbb{E}[f(y_m)] - f(x^*) \leq \frac{8\Theta LC_n}{N^2} + \frac{3\tilde{\delta}^2}{4L}(N+2)^2.$$

Осталось заметить, что $\frac{3\tilde{\delta}^2}{4L} = \frac{3 \cdot 4L\delta}{4L} = 3\delta$. Теорема доказана.

ПРИЛОЖЕНИЕ

Здесь доказываются леммы 2, 3, 4, 5, играющие важнейшую роль при доказательстве теорем 1 и 2.

Доказательство леммы 2. Докажем сначала первую часть неравенства:

$$\begin{aligned} & \alpha_{k+1} \langle n \langle \nabla f(x_{k+1}), e_{k+1} \rangle e_{k+1}, z_k - u \rangle \\ & = \langle \alpha_{k+1} n \langle \nabla f(x_{k+1}), e_{k+1} \rangle e_{k+1}, z_k - z_{k+1} \rangle \\ & \quad + \langle \alpha_{k+1} n \langle \nabla f(x_{k+1}), e_{k+1} \rangle e_{k+1}, z_{k+1} - u \rangle \\ & \stackrel{(*)}{\leq} \langle \alpha_{k+1} n \langle \nabla f(x_{k+1}), e_{k+1} \rangle e_{k+1}, z_k - z_{k+1} \rangle + \langle -\nabla V_{z_k}(z_{k+1}), z_{k+1} - u \rangle \\ & \stackrel{(**)}{=} \langle \alpha_{k+1} n \langle \nabla f(x_{k+1}), e_{k+1} \rangle e_{k+1}, z_k - z_{k+1} \rangle + V_{z_k}(u) - V_{z_{k+1}}(u) - V_{z_k}(z_{k+1}) \\ & \stackrel{(***)}{\leq} \left(\langle \alpha_{k+1} n \langle \nabla f(x_{k+1}), e_{k+1} \rangle e_{k+1}, z_k - z_{k+1} \rangle - \frac{1}{2} \|z_k - z_{k+1}\|_p^2 \right) \\ & \quad + V_{z_k}(u) - V_{z_{k+1}}(u), \end{aligned} \tag{18}$$

где (*) выполнено в силу того, что $z_{k+1} = \operatorname{argmin}_{z \in \mathbb{R}^n} \{V_{z_k} + \alpha_{k+1} \langle n \langle \nabla f(x_{k+1}), e_{k+1} \rangle e_{k+1}, z \rangle\}$, откуда следует, что $\langle \nabla V_{z_k}(z_{k+1}) + \alpha_{k+1} n \langle \nabla f(x_{k+1}), e_{k+1} \rangle e_{k+1}, u - z_{k+1} \rangle \geq 0$ для всех $u \in Q = \mathbb{R}^n$, (***) выполнено в силу равенства треугольника для

дивергенции Брэгмана⁶, (***) выполнено, т.к. $V_x(y) \geq \frac{1}{2}\|x - y\|_p^2$ в силу сильной выпуклости прокс-функции $d(x)$.

Теперь покажем, что

$$\begin{aligned} & \langle \alpha_{k+1} n \langle \nabla f(x_{k+1}), e_{k+1} \rangle e_{k+1}, z_k - z_{k+1} \rangle - \frac{1}{2} \|z_k - z_{k+1}\|_p^2 \\ & \leq \frac{\alpha_{k+1}^2 n^2}{2} |\langle \nabla f(x_{k+1}), e_{k+1} \rangle|^2 \cdot \|e_{k+1}\|_q^2. \end{aligned}$$

Действительно, в силу неравенства Гёльдера

$$\begin{aligned} & \langle \alpha_{k+1} n \langle \nabla f(x_{k+1}), e_{k+1} \rangle e_{k+1}, z_k - z_{k+1} \rangle \\ & \leq \alpha_{k+1} n \|\langle \nabla f(x_{k+1}), e_{k+1} \rangle e_{k+1}\|_q \cdot \|z_k - z_{k+1}\|_p \\ & = \alpha_{k+1} n |\langle \nabla f(x_{k+1}), e_{k+1} \rangle| \cdot \|e_{k+1}\|_q \cdot \|z_k - z_{k+1}\|_p, \end{aligned}$$

откуда

$$\begin{aligned} & \langle \alpha_{k+1} n \langle \nabla f(x_{k+1}), e_{k+1} \rangle e_{k+1}, z_k - z_{k+1} \rangle - \frac{1}{2} \|z_k - z_{k+1}\|_p^2 \\ & \leq \alpha_{k+1} n |\langle \nabla f(x_{k+1}), e_{k+1} \rangle| \cdot \|e_{k+1}\|_q \cdot \|z_k - z_{k+1}\|_p - \frac{1}{2} \|z_k - z_{k+1}\|_p^2. \end{aligned} \quad (19)$$

Положим $t = \|z_k - z_{k+1}\|_p$, $a = \frac{1}{2}$, $b = \alpha_{k+1} n |\langle \nabla f(x_{k+1}), e_{k+1} \rangle| \cdot \|e_{k+1}\|_q$, тогда правая часть в (19) имеет вид

$$bt - at^2.$$

Если рассматривать полученное выражение как функцию от $t \in \mathbb{R}$, то можно показать, что максимум этой функции достигается в точке $t^* = \frac{b}{2a}$ и равен $\frac{b^2}{4a}$. Отсюда и из (19) следует неравенство

$$\begin{aligned} & \langle \alpha_{k+1} n \langle \nabla f(x_{k+1}), e_{k+1} \rangle e_{k+1}, z_k - z_{k+1} \rangle - \frac{1}{2} \|z_k - z_{k+1}\|_p^2 \\ & \leq \frac{\alpha_{k+1}^2 n^2}{2} |\langle \nabla f(x_{k+1}), e_{k+1} \rangle|^2 \cdot \|e_{k+1}\|_q^2. \end{aligned} \quad (20)$$

Итак, учитывая (18) и (20), получаем

$$\begin{aligned} & \alpha_{k+1} \langle n \langle \nabla f(x_{k+1}), e_{k+1} \rangle e_{k+1}, z_k - u \rangle \\ & \leq \frac{\alpha_{k+1}^2 n^2}{2} |\langle \nabla f(x_{k+1}), e_{k+1} \rangle|^2 \cdot \|e_{k+1}\|_q^2 + V_{z_k}(u) - V_{z_{k+1}}(u). \end{aligned}$$

Беря условное математическое ожидание $\mathbb{E}_{e_{k+1}}[\cdot | e_1, e_2, \dots, e_k]$ от левой и правой частей последнего неравенства и пользуясь вторым неравенством из леммы 1, получаем

$$\begin{aligned} & \alpha_{k+1} \langle \nabla f(x_{k+1}), z_k - u \rangle \\ & \leq \alpha_{k+1}^2 \cdot \frac{C_n}{2n} \|\nabla f(x_{k+1})\|_2^2 + V_{z_k}(u) - \mathbb{E}_{e_{k+1}}[V_{z_{k+1}}(u) | e_1, e_2, \dots, e_k], \end{aligned}$$

⁶Действительно,

$$\begin{aligned} \forall x, y \in \mathbb{R}^n \quad & \langle -\nabla V_x(y), y - u \rangle = \langle \nabla d(x) - \nabla d(y), y - u \rangle = (d(u) - d(x) - \langle \nabla d(x), u - x \rangle) \\ & - (d(u) - d(y) - \langle \nabla d(y), u - y \rangle) - (d(y) - d(x) - \langle \nabla d(x), y - x \rangle) = V_x(u) - V_y(u) - V_x(y). \end{aligned}$$

где $C = \frac{4}{3} \min\{q - 1, 4 \ln n\} \cdot n^{\frac{2}{q}+1}$. Чтобы доказать вторую часть неравенства (4), покажем, что

$$\|\nabla f(x_{k+1})\|_2^2 \leq 2nL(f(x_{k+1}) - \mathbb{E}_{e_{k+1}}[f(y_{k+1}) | e_1, e_2, \dots, e_k]). \quad (21)$$

Во-первых, для всех $x, y \in \mathbb{R}$

$$\begin{aligned} f(y) - f(x) &= \int_0^1 \langle \nabla f(x + \tau(y - x)), y - x \rangle d\tau \\ &= \langle \nabla f(x), y - x \rangle + \int_0^1 \langle \nabla f(x + \tau(y - x)) - \nabla f(x), y - x \rangle d\tau \\ &\leq \langle \nabla f(x), y - x \rangle + \int_0^1 \|\nabla f(x + \tau(y - x)) - \nabla f(x)\|_2 \cdot \|y - x\|_2 d\tau \\ &\leq \langle \nabla f(x), y - x \rangle + \int_0^1 \tau L \|y - x\|_2 \cdot \|y - x\|_2 d\tau \\ &= \langle \nabla f(x), y - x \rangle + \frac{L}{2} \|y - x\|_2^2, \end{aligned}$$

то есть

$$-\langle \nabla f(x), y - x \rangle - \frac{L}{2} \|y - x\|_2^2 \leq f(x) - f(y).$$

Беря в последнем неравенстве $x = x_{k+1}$, $y = \text{Grad}_{e_{k+1}}(x_{k+1}) = x_{k+1} - \frac{1}{L} \langle \nabla f(x_{k+1}), e_{k+1} \rangle e_{k+1}$, получим

$$\begin{aligned} f(x_{k+1}) - f(y_{k+1}) &\geq \frac{1}{L} \langle \nabla f(x_{k+1}), e_{k+1} \rangle^2 - \frac{1}{2L} \langle \nabla f(x_{k+1}), e_{k+1} \rangle^2 \cdot \|e_{k+1}\|_2^2 \\ &= \frac{1}{2L} \langle \nabla f(x_{k+1}), e_{k+1} \rangle^2. \end{aligned}$$

Возьмём от этого неравенства условное математическое ожидание $\mathbb{E}_{e_{k+1}}[\cdot | e_1, e_2, \dots, e_k]$, используя лемму B.10 из [14], и получим неравенство (21). Лемма доказана.

Доказательство леммы 3. Доказательство состоит в выписывании цепочки неравенств:

$$\begin{aligned} &\alpha_{k+1}(f(x_{k+1}) - f(u)) \\ &\leq \alpha_{k+1} \langle \nabla f(x_{k+1}), x_{k+1} - u \rangle \\ &= \alpha_{k+1} \langle \nabla f(x_{k+1}), x_{k+1} - z_k \rangle + \alpha_{k+1} \langle \nabla f(x_{k+1}), z_k - u \rangle \\ &\stackrel{(*)}{=} \frac{(1-\tau_k)\alpha_{k+1}}{\tau_k} \langle \nabla f(x_{k+1}), y_k - x_{k+1} \rangle + \alpha_{k+1} \langle \nabla f(x_{k+1}), z_k - u \rangle \\ &\stackrel{(**)}{\leq} \frac{(1-\tau_k)\alpha_{k+1}}{\tau_k} (f(y_k) - f(x_{k+1})) + \alpha_{k+1} \langle \nabla f(x_{k+1}), z_k - u \rangle \\ &\stackrel{(***)}{\leq} \frac{(1-\tau_k)\alpha_{k+1}}{\tau_k} (f(y_k) - f(x_{k+1})) \\ &\quad + \alpha_{k+1}^2 LC_n \cdot (f(x_{k+1}) - \mathbb{E}_{e_{k+1}}[f(y_{k+1}) | e_1, e_2, \dots, e_k]) \\ &\quad + V_{z_k}(u) - \mathbb{E}_{e_{k+1}}[V_{z_{k+1}}(u) | e_1, e_2, \dots, e_k] \\ &\stackrel{****}{=} (\alpha_{k+1}^2 LC_n - \alpha_{k+1}) f(y_k) - \alpha_{k+1}^2 LC_n \mathbb{E}_{e_{k+1}}[f(y_{k+1}) | e_1, e_2, \dots, e_k] \\ &\quad + \alpha_{k+1} f(x_{k+1}) + V_{z_k}(u) - \mathbb{E}_{e_{k+1}}[V_{z_{k+1}}(u) | e_1, e_2, \dots, e_k]. \end{aligned}$$

Действительно, $(*)$ выполнено, так как $x_{k+1} \stackrel{\text{def}}{=} \tau_k z_k + (1 - \tau_k)y_k \Leftrightarrow \tau_k(x_{k+1} - z_k) = (1 - \tau_k)(y_k - x_{k+1})$, $(**)$ следует из выпуклости $f(\cdot)$ и неравенства $1 - \tau_k \geq 0$, $(***)$ справедливо в силу леммы 2 и в $(****)$ используется равенство $\tau_k = \frac{1}{\alpha_{k+1}LC_n}$. Лемма доказана.

Доказательство леммы 4. Доказательство почти полностью повторяет доказательство леммы 2. Аналогично записываем

$$\begin{aligned} & \alpha_{k+1} \langle n \langle \tilde{\nabla} f(x_{k+1}), e_{k+1} \rangle e_{k+1}, z_k - u \rangle \\ &= \langle \alpha_{k+1} n \langle \tilde{\nabla} f(x_{k+1}), e_{k+1} \rangle e_{k+1}, z_k - z_{k+1} \rangle \\ &\quad + \langle \alpha_{k+1} n \langle \tilde{\nabla} f(x_{k+1}), e_{k+1} \rangle e_{k+1}, z_{k+1} - u \rangle \\ &\stackrel{(*)}{\leqslant} \langle \alpha_{k+1} n \langle \tilde{\nabla} f(x_{k+1}), e_{k+1} \rangle e_{k+1}, z_k - z_{k+1} \rangle + \langle -\nabla V_{z_k}(z_{k+1}), z_{k+1} - u \rangle \\ &= \langle \alpha_{k+1} n \langle \nabla f(x_{k+1}), e_{k+1} \rangle e_{k+1}, z_k - z_{k+1} \rangle + \langle -\nabla V_{z_k}(z_{k+1}), z_{k+1} - u \rangle \\ &\quad + \langle \alpha_{k+1} n \delta_\nabla(x_{k+1}) e_{k+1}, z_k - z_{k+1} \rangle, \end{aligned}$$

где $(*)$ выполнено в силу того, что $z_{k+1} = \arg\min_{z \in \mathbb{R}^n} \left\{ V_{z_k} + \alpha_{k+1} \langle n \langle \tilde{\nabla} f(x_{k+1}), e_{k+1} \rangle e_{k+1}, z \rangle \right\}$, откуда следует, что $\langle \nabla V_{z_k}(z_{k+1}) + \alpha_{k+1} n \langle \tilde{\nabla} f(x_{k+1}), e_{k+1} \rangle e_{k+1}, u - z_{k+1} \rangle \geq 0$ для всех $u \in Q = \mathbb{R}^n$. Далее проводим все те же выкладки, что и в доказательстве леммы 2, и получаем

$$\begin{aligned} & \alpha_{k+1} \langle n \langle \tilde{\nabla} f(x_{k+1}), e_{k+1} \rangle e_{k+1}, z_k - u \rangle \\ &\leq (\langle \alpha_{k+1} n \langle \nabla f(x_{k+1}), e_{k+1} \rangle e_{k+1}, z_k - z_{k+1} \rangle - \frac{1}{2} \|z_k - z_{k+1}\|_p^2) \quad (22) \\ &\quad + V_{z_k}(u) - V_{z_{k+1}}(u) + \langle \alpha_{k+1} n \delta_\nabla(x_{k+1}) e_{k+1}, z_k - z_{k+1} \rangle. \end{aligned}$$

Если взять от обеих частей неравенства (22) условное математическое ожидание $\mathbb{E}_{e_{k+1}}[\cdot | e_1, e_2, \dots, e_k]$ и провести все те же оценки, что в доказательстве леммы 2, то получим

$$\begin{aligned} & \mathbb{E}_{e_{k+1}}[\alpha_{k+1} \langle \tilde{\nabla} f(x_{k+1}), z_k - u \rangle | e_1, e_2, \dots, e_k] \\ &\leq \alpha_{k+1}^2 \cdot \frac{C_n}{2n} \|\nabla f(x_{k+1})\|_2^2 + V_{z_k}(u) - \mathbb{E}_{e_{k+1}}[V_{z_{k+1}}(u) | e_1, e_2, \dots, e_k] \\ &\quad + n\alpha_{k+1} \mathbb{E}_{e_{k+1}}[\delta_\nabla(x_{k+1}) \langle e_{k+1}, z_k - z_{k+1} \rangle | e_1, e_2, \dots, e_k] \quad (23) \\ &\leq \alpha_{k+1}^2 LC_n \cdot (f(x_{k+1}) - \mathbb{E}_{e_{k+1}}[f(y_{k+1}) | e_1, e_2, \dots, e_k]) \\ &\quad + V_{z_k}(u) - \mathbb{E}_{e_{k+1}}[V_{z_{k+1}}(u) | e_1, e_2, \dots, e_k] \\ &\quad + n\alpha_{k+1} \mathbb{E}_{e_{k+1}}[\delta_\nabla(x_{k+1}) \langle e_{k+1}, z_k - z_{k+1} \rangle | e_1, e_2, \dots, e_k]. \end{aligned}$$

Пользуясь представлением $\langle \tilde{\nabla} f(x_{k+1}), e_{k+1} \rangle e_{k+1} = \langle \nabla f(x_{k+1}), e_{k+1} \rangle e_{k+1} + \delta_\nabla(x_{k+1}) e_{k+1}$ и линейностью математического ожидания, получаем (10). Лемма доказана.

Доказательство леммы 5. Доказательство почти дословно повторяет доказательство леммы 3. Единственное отличие состоит в том,

что нужно воспользоваться леммой 4 вместо леммы 2. Как и в лемме 3, запишем цепочку неравенств:

$$\begin{aligned}
& \alpha_{k+1}(f(x_{k+1}) - f(u)) \\
& \leq \alpha_{k+1}\langle \nabla f(x_{k+1}), x_{k+1} - u \rangle \\
& = \alpha_{k+1}\langle \nabla f(x_{k+1}), x_{k+1} - z_k \rangle + \alpha_{k+1}\langle \nabla f(x_{k+1}), z_k - u \rangle \\
& \stackrel{(*)}{=} \frac{(1-\tau_k)\alpha_{k+1}}{\tau_k}\langle \nabla f(x_{k+1}), y_k - x_{k+1} \rangle + \alpha_{k+1}\langle \nabla f(x_{k+1}), z_k - u \rangle \\
& \stackrel{(**)}{\leqslant} \frac{(1-\tau_k)\alpha_{k+1}}{\tau_k}(f(y_k) - f(x_{k+1})) + \alpha_{k+1}\langle \nabla f(x_{k+1}), z_k - u \rangle \\
& \stackrel{(***)}{\leqslant} \frac{(1-\tau_k)\alpha_{k+1}}{\tau_k}(f(y_k) - f(x_{k+1})) \\
& + \alpha_{k+1}^2 LC_n \cdot (f(x_{k+1}) - \mathbb{E}_{e_{k+1}}[f(y_{k+1}) \mid e_1, e_2, \dots, e_k]) \\
& \quad + V_{z_k}(u) - \mathbb{E}_{e_{k+1}}[V_{z_{k+1}}(u) \mid e_1, e_2, \dots, e_k] \\
& \quad + n\alpha_{k+1}\mathbb{E}_{e_{k+1}}[\delta_\nabla(x_{k+1})\langle e_{k+1}, z_k - z_{k+1} \rangle \mid e_1, e_2, \dots, e_k] \\
& \stackrel{****}{=} (\alpha_{k+1}^2 LC_n - \alpha_{k+1})f(y_k) - \alpha_{k+1}^2 LC_n \mathbb{E}_{e_{k+1}}[f(y_{k+1}) \mid e_1, e_2, \dots, e_k] \\
& \quad + \alpha_{k+1}f(x_{k+1}) + V_{z_k}(u) - \mathbb{E}_{e_{k+1}}[V_{z_{k+1}}(u) \mid e_1, e_2, \dots, e_k] \\
& \quad + n\alpha_{k+1}\mathbb{E}_{e_{k+1}}[\delta_\nabla(x_{k+1})\langle e_{k+1}, z_k - z_{k+1} \rangle \mid e_1, e_2, \dots, e_k].
\end{aligned}$$

Действительно, (*) выполнено, так как $x_{k+1} \stackrel{\text{def}}{=} \tau_k z_k + (1 - \tau_k)y_k \Leftrightarrow \tau_k(x_{k+1} - z_k) = (1 - \tau_k)(y_k - x_{k+1})$, (**) следует из выпуклости $f(\cdot)$ и неравенства $1 - \tau_k \geq 0$, (***) справедливо в силу леммы 4 и в (****) используется равенство $\tau_k = \frac{1}{\alpha_{k+1}LC_n}$. Лемма доказана.

Список литературы

- [1] Nesterov Yu. Random gradient-free minimization of convex functions // CORE Discussion Paper 2011/1. – 2011.
- [2] Гасников А. В., Двуреченский П. Е., Нестеров Ю. Е. Стохастические градиентные методы с неточным оракулом // Труды МФТИ. 2016. Т. 8. № 1. С. 41–91. arXiv preprint arXiv:1411.4218
- [3] Гасников А. В., Лагуновская А. А., Усманова И. Н., Федоренко Ф. А. Безградиентные прокс-методы с неточным оракулом для негладких задач выпуклой стохастической оптимизации // АиТ. 2016. № 10. С. 57–77.
- [4] Гасников А. В., Крымова Е. А., Лагуновская А. А., Усманова И. Н., Федоренко Ф. А. Стохастическая онлайн оптимизация. Одноточечные и двухточечные нелинейные многорукые бандиты. Выпуклый и сильно выпуклый случаи // АиТ. 2017. № 2. С. 36–49.

- [5] *Allen-Zhu Z., Orecchia L.* Linear coupling: An ultimate unification of gradient and mirror descent // arXiv preprint arXiv:1407.1537
- [6] *Dvurechensky P., Gasnikov A., Tiurin A.* Randomized Similar Triangles Method: A Unifying Framework for Accelerated Randomized Optimization Methods (Coordinate Descent, Directional Search, Derivative-Free Method) // SIAM Journal on Optimization. (Submitted) arXiv preprint arXiv:1707.08486
- [7] *Баяндина А. С., Гасников А. В., Гулиев Ф. Ш., Лагуновская А. А.* Безградиентные двухточечные методы решения задач стохастической негладкой выпуклой оптимизации при наличии малых шумов не случайной природы // arXiv preprint arXiv:1701.03821
- [8] *Allen-Zhu Z.* Katyusha: The First Direct Acceleration of Stochastic Gradient Methods // arXiv preprint arXiv:1603.05953
- [9] *Гасников А. В., Нестеров Ю. Е.* Универсальный метод для задач стохастической композитной оптимизации // ЖВМ и МФ. 2018. Т. 58. № 1. (в печати) arXiv preprint arXiv:1604.05275
- [10] *Guzman C., Nemirovski A.* On lower complexity bounds for large-scale smooth convex optimization // Journal of Complexity, Volume 31, Issue 1, February 2015, Pages 1–14.
- [11] *Baydin A. G., Pearlmutter B. A., Radul A. A., Siskand J. M.* Automatic differentiation in machine learning: a survey // arXiv preprint arXiv:1502.05767
- [12] *Гасников А. В., Двуреченский П. Е., Усманова И. Н.* О нетривиальности быстрых (ускоренных) рандомизированных методов // Труды МФТИ. 2016. Т. 8. № 2. С. 67–100. arXiv preprint arXiv:1508.02182
- [13] *ACRCD method Python code.* URL: <https://github.com/JaneJaneVL/ACRCD/blob/master/ACRCD.ipynb>
- [14] *Bogolubsky L., Dvurechensky P., Gasnikov A., Gusev G., Raigorodskii A., Tikhonov A., Zhukovskii M.* Learning Supervised PageRank with Gradient-Based and Gradient-Free Optimization Methods // The Thirtieth Annual Conference on Neural Information Processing Systems (NIPS). – 2016. arXiv preprint arXiv:1603.00717